



**ИССЛЕДОВАНИЯ СОПРОТИВЛЕНИЯ МАССИВА ГОРНЫХ ПОРОД
ПРИ ВНЕДРЕНИИ В НЕГО ИНСТРУМЕНТА КОНИЧЕСКОЙ ФОРМЫ**

Б. Б. Данилов¹, А. И. Чанышев^{1,2}, Д. О. Чешин¹

¹*Институт горного дела им. Н. А. Чинакала СО РАН, E-mail: a.i.chanyshev@gmail.com,
Красный проспект 54, г. Новосибирск 630091, Россия*

²*Новосибирский государственный университет экономики и управления,
ул. Каменская 56, г. Новосибирск 630099, Россия*

Из различных видов сопротивления массива пород внедрению в него твердого тела определены такие, с преодолением которых связан не отскок, а глубина проникания (вязко-пластическое сопротивление). Показано, как при известной начальной скорости движения инструмента (при измеренных в экспериментах глубине и времени проникания) для заданной геометрии инструмента восстанавливается искомая функция сопротивления, состоящая из постоянного слагаемого и функции, зависящей от скорости движения. Более приемлемой считается такая геометрия инструмента, при которой сопротивление среды внедрению для данной глубины получается минимальным.

Сопротивление, упругое, пластическое, вязко-пластическое, глубина, скорость, время

STUDY OF ROCK MASS RESISTANCE TO PENETRATION OF A CONICAL TOOL

B. B. Danilov¹, A. I. Chanyshev^{1,2}, and D. O. Cheshchin¹

¹*Chinakal Institute of Mining, Siberian Branch, Russian Academy of Sciences,
E-mail: a.i.chanyshev@gmail.com, Krasny pr. 54, Novosibirsk 630091, Russia*

²*Novosibirsk State University of Economics and Management,
ul. Kamenskaya 52, Novosibirsk 630099, Russia*

Among various types of resistance of a rock mass to the penetration of a solid body into it, the resistance types associated not with rebound, but with the depth of penetration (viscoplastic resistance) are determined. It is shown how at a known initial speed of the tool movement (at the depth and time of penetration measured in experiments), for a given tool geometry, the required resistance function is restored, consisting of a constant term and a function which depends on the speed of movement. More acceptable is the geometry of the tool, in which the resistance of the medium to penetration for a given depth is minimal.

Resistance, elastic, plastic, viscoplastic, depth, speed, time

Исследование процессов статического и динамического взаимодействия двух изотропных упругих тел, поверхности которых аппроксимируются двумя параболами, рассматривалось в [1–3], ударная нагрузка при упругопластических деформациях изучалась в [4–6]. Из множества работ данного направления выделим те, которые относятся к определению пределов текучести и прочности материалов с использованием методов проб Бринелля и Виккерса.

В методе проб Бринелля вдавливаются инденторы в виде сфер, в методе проб Виккерса — правильные четырехгранные алмазные пирамиды. По отпечаткам указанных фигур находится твердость материалов. Задача по определению сопротивления грунтового массива деформированию различными методами рассматривается также в работах [7–9].

Работа выполнена при финансовой поддержке проекта Российского фонда фундаментальных исследований (проект № 18-05-00757 А).

В данной работе решаются аналогичные задачи — устанавливается сопротивление среды деформированию при заданных значениях глубины проникания инструмента, времени проникания и геометрических параметров внедряемого инструмента. Таким образом задача сводится к определению таких значений этих параметров, при которых сопротивление среды будет минимальным, а глубина проникания — наибольшей.

Рассмотрим следующую ситуацию. Пусть дано тело с массой m , расположенное на высоте H над некоторой преградой — поверхностью массива пород (рис. 1).

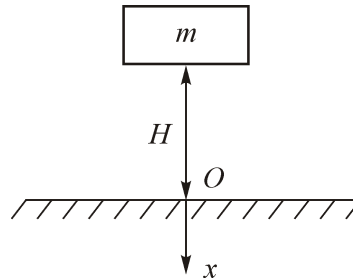


Рис. 1. Груз массой m падает на поверхность массива пород

Полуось Ox выберем, как показано на рис. 1: точку O расположим на поверхности, значения координат x положительны, если тело внедряется в массив пород.

Для определения движения тела с массой m имеем уравнение движения Ньютона:

$$m\ddot{x} = mg, \quad (1)$$

интегрируя которое находим скорость V , развиваемую телом при сбросе с высоты H :

$$V = \sqrt{2Hg}. \quad (2)$$

Со скоростью V тело подлетает к преграде. Далее идут допущения о виде сопротивления среды, расположенной в области $x \geq 0$. Рассмотрим различные случаи.

Случай 1. Пусть сопротивление среды описывается зависимостью

$$R = R_1 x, \quad (3)$$

где R_1 — неизвестная константа.

Таким образом задачей является определение R_1 . Для решения задачи имеем уравнение движения Ньютона вида (1):

$$m\ddot{x} = mg - R_1 x. \quad (4)$$

Интегрируя (4) при начальных условиях:

$$x|_{t=0} = 0, \quad \dot{x}|_{t=0} = V. \quad (5)$$

Получаем решение (4) в виде:

$$x = \frac{g}{\lambda^2} (1 - \cos \lambda t) + \frac{V}{\lambda} \sin \lambda t, \quad (6)$$

где $\lambda^2 = R_1/m$.

Соотношение (6) возможно переписать, преобразуя его к одной синусоиде:

$$x = \frac{\sqrt{g^2 + \lambda^2 V^2}}{\lambda^2} \sin \lambda \left(t - \frac{\gamma}{\lambda} \right) + \frac{g}{\lambda^2}, \quad (7)$$

где $\operatorname{tg} \gamma = g / \lambda V$.

Из этого следуют зависимости для скорости \dot{x} и ускорения \ddot{x} :

$$\dot{x} = \frac{\sqrt{g^2 + \lambda^2 V^2}}{\lambda} \cos \lambda \left(t - \frac{\gamma}{\lambda} \right), \quad (8)$$

$$\ddot{x} = -\sqrt{g^2 + \lambda^2 V^2} \sin \lambda \left(t - \frac{\gamma}{\lambda} \right). \quad (9)$$

Из (8) находим, что скорость \dot{x} будет равна нулю при

$$\lambda t_* - \gamma = \frac{\pi}{2}, \quad (10)$$

т. е. при $t_* = \frac{1}{\lambda} \left(\gamma + \frac{\pi}{2} \right)$. Это означает остановку тела в массиве пород. На рис. 2 представлены графики функций $\dot{x} = \dot{x}(t)$, $x = x(t)$, $\ddot{x} = \ddot{x}(t)$.

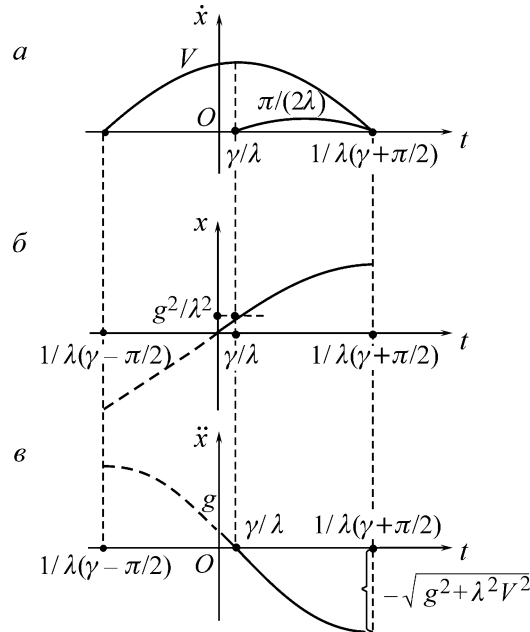


Рис. 2. Графики зависимостей скорости от времени t

Видно, что на участке времени $t \in \left[0, \frac{\gamma}{\lambda} \right]$ скорость возрастает от значения V до значения $\sqrt{V^2 + g^2 / \lambda^2}$. На участке времени $t \in \left[\frac{\gamma}{\lambda}, \frac{1}{\lambda} \left(\gamma + \frac{\pi}{2} \right) \right]$ скорость падает от максимального $\sqrt{V^2 + \frac{g^2}{\lambda^2}}$ до нуля при $t = \frac{\gamma}{\lambda} + \frac{\pi}{2\lambda}$.

При этом смещение x возрастает (рис. 2б) от значения $x=0$ до максимального значения

$$x = \frac{g}{\lambda^2} + \frac{\sqrt{g^2 + \lambda^2 V^2}}{\lambda^2}.$$

Ускорение \ddot{x} в момент времени $t=0$ было равно g , в момент остановки тела $\left(t = \frac{\gamma}{\lambda} + \frac{\pi}{2\lambda} \right)$ оно сменило знак и стало равным $\ddot{x} = -\sqrt{g^2 + \lambda^2 V^2}$.

Для определения параметра R_1 в (3) возможно использовать время, при котором тело максимально погрузилось в массив пород t_* из (10). Зная t_* и V получаем следующее уравнение для определения параметра λ .

$$\operatorname{arctg} \frac{g}{\lambda V} - \lambda t_* + \frac{\pi}{2} = 0. \quad (11)$$

Из этого уравнения находится λ , из (6) — $R_1 = m\lambda$.

Рассмотрим теперь отскок тела в момент времени $t \geq \frac{\gamma}{\lambda} + \frac{\pi}{2\lambda}$. В этом случае по-прежнему имеем уравнение движения (4), его решение (6), начало отсчета времени перенесем в момент отскока. При $t = 0$ имеем следующие начальные условия:

$$\begin{cases} x|_{t=0} = x_{\max} = \frac{g + \sqrt{g^2 + \lambda^2 V^2}}{\lambda^2}, \\ \dot{x}|_{t=0} = 0. \end{cases} \quad (12)$$

Из этих условий находим:

$$\begin{cases} x = \frac{\sqrt{g^2 + \lambda^2 V^2}}{\lambda^2} \cos \lambda t - \frac{g}{\lambda^2}, \\ \dot{x} = -\frac{\sqrt{g^2 + \lambda^2 V^2}}{\lambda} \sin \lambda t, \\ \ddot{x} = -\sqrt{g^2 + \lambda^2 V^2} \cos \lambda t. \end{cases} \quad (13)$$

Графики функций $\dot{x} = \dot{x}(t)$, $x = x(t)$, $\ddot{x} = \ddot{x}(t)$ представлены на рис. 3.

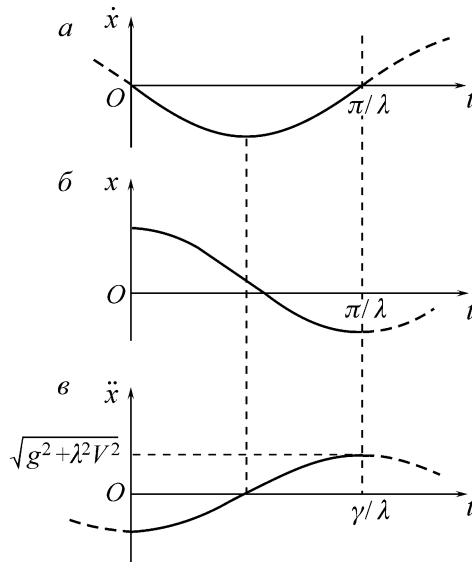


Рис. 3. Графики зависимостей скорости, смещения и ускорения при отскоке

При этом скорость \dot{x} после отскока обращается в ноль при $t = \pi/\lambda$, смещение x в этот момент времени равно значению $x_* = (g - \sqrt{g^2 + \lambda^2 V^2})/\lambda^2$, ускорение из отрицательных значений переходит в область положительных со значением $\ddot{x} = \sqrt{g^2 + \lambda^2 V^2} \geq g$.

Поскольку значение x_* отрицательно, это означает, что тело после отскока находится на поверхности массива пород. Величина подъема над поверхностью $x = 0$ равна $h = |x_* - x_{\max}| = 2\sqrt{g^2 + \lambda^2 V^2}/\lambda^2$. Если эту величину фиксировать, обозначив ее h , то отсюда получаем уравнение для определения параметра λ^2 : $\lambda^2 h = 2\sqrt{g^2 + \lambda^2 V^2}$, решая которое находим

$$\lambda^2 = \frac{R_1}{m} = \frac{2(V^2 + \sqrt{V^4 + h^2 g^2})}{h^2}. \quad (14)$$

Дальнейшее движение повторяет то, что изложено в формулах (1)–(14). При этом получаем новое выражение скорости (2): $V = \sqrt{2hg}$ и т. д.

Сделаем несколько замечаний:

1. Если скорость $V = 0$, то максимальная величина смещения x , согласно (7), будет равна $x = 2g / \lambda^2 = 2gm / R_1$. Отсюда, согласно (3), максимальная сила сопротивления получается в два раза превышающей вес груза.

2. Если $V = 0$, то R_1 , согласно (14), также равно $2gm$.

Случай 2. Пусть сопротивление среды определяется константой, зависящей от формы и геометрии ударника. В этом случае уравнение движения Ньютона имеет вид:

$$m\ddot{x} = mg - R, \quad (15)$$

где $R = \text{const}$.

Интегрируя (15) при начальных условиях (5), получаем зависимость:

$$\begin{cases} \dot{x} = \left(g - \frac{R}{m}\right)t + V, \\ x = \left(g - \frac{R}{m}\right)\frac{t^2}{2} + Vt, \\ \ddot{x} = \left(g - \frac{R}{m}\right). \end{cases} \quad (16)$$

Скорость \dot{x} обращается в нуль, если $t = \frac{V}{R/m - g}$.

Поскольку время t положительно, то отсюда следует ограничение:

$$\frac{R}{m} \geq g. \quad (17)$$

На рис. 4 представлены графики функций (16).

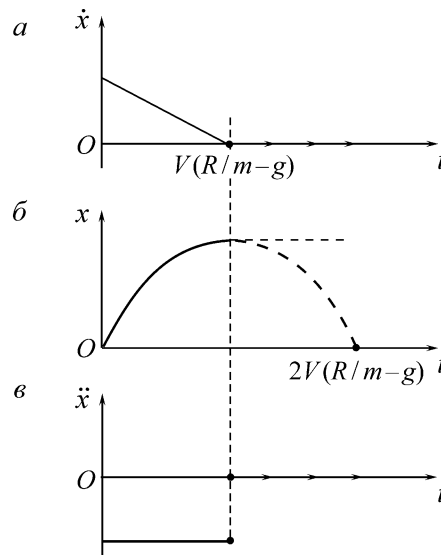


Рис. 4. Зависимости скорости, смещения, ускорения с ростом времени t при сопротивлении среды, равной константе

Из (16) и рис. 4б следует, что глубина проникания исходного тела в массив горных пород составляет величину $H = H_*$, где $H_* = \frac{V^2 / 2}{R/m - g}$, откуда вычисляется

$$R = m \left[g + \frac{V^2}{2H_*} \right]. \quad (18)$$

Из (18) получена формула $RH_* = mgH_* + mV^2/2$, выражающая собой закон сохранения энергии.

Необходимо отметить, что в формуле (18) величиной, зависящей от формы и геометрии рабочего органа инструмента при данном значении скорости V , является H_* . Меняя геометрию при данном значении V , будем находить разные значения H_* и разные значения сопротивления массива пород R .

Случай 3. Пусть сопротивление массива пород при внедрении в него инструмента определяется выражением

$$R = R_0 + R_1 x, \quad (19)$$

где R_0, R_1 — неизвестные априори постоянные.

Подставляя (19) в уравнение движения Ньютона, получаем дифференциальное уравнение 2-го порядка:

$$\ddot{x} + \frac{R_1}{m} x = g - \frac{R_0}{m}. \quad (20)$$

Решение (20) записывается в виде

$$x = C_1 \cos \lambda t + C_2 \sin \lambda t + \left(g - \frac{R_0}{m} \right) \frac{t^2}{2},$$

где C_1, C_2 — произвольные постоянные, $\lambda^2 = R_1/m$.

При начальных условиях $x|_{t=0} = 0, \dot{x}|_{t=0} = V$ получаем выражения:

$$\begin{cases} \dot{x} = V \cos \lambda t + \left(g - \frac{R_0}{m} \right) t, \\ x = \frac{V}{\lambda} \sin \lambda t + \left(g - \frac{R_0}{m} \right) \frac{t^2}{2}, \\ \ddot{x} = -V \lambda \sin \lambda t + g - \frac{R_0}{m}. \end{cases} \quad (21)$$

Выражения (21) представляют собой суммы двух слагаемых — первые слагаемые связаны с колебаниями (с упругими колебаниями), вторые слагаемые с пластичными (неупругими) деформациями. Здесь есть момент времени, при котором скорость \dot{x} обращается в ноль, после которого происходит восстановление упругих смещений.

Случай 4. Пусть сопротивление массива пород определяется выражением

$$R = R_0 + R_1 \dot{x}, \quad (22)$$

где R_0, R_1 — неизвестные априори постоянные.

Подставляя (22) в уравнение движения Ньютона, получаем дифференциальное уравнение

$$m\ddot{x} = mg - R_0 - R_1 \dot{x},$$

или

$$\ddot{x} + \frac{R_1}{m} \dot{x} = g - \frac{R_0}{m},$$

решение которого является функция: $x = C_1 + C_2 e^{-\frac{R_1}{m} t} + \left(g - \frac{R_0}{m} \right) t$.

Удовлетворяя начальным условиям (5), получаем

$$\begin{cases} \dot{v} = \left(V + \frac{R_0}{m} - g \right) e^{-\frac{R_1}{m}t} - \left(\frac{R_0}{m} - g \right), \\ x = \frac{m}{R_1} \left(V + \frac{R_0}{m} - g \right) \left(1 - e^{-\frac{R_1}{m}t} \right) - \left(\frac{R_0}{m} - g \right) t, \\ \ddot{x} = -\frac{R_1}{m} \left(V - g + \frac{R_0}{m} \right) e^{-\frac{R_1}{m}t}. \end{cases} \quad (23)$$

Из (23) непосредственно следует, что ускорение \ddot{x} при $t \geq 0$ всегда отрицательно, т. е. функция $\dot{x} = \dot{x}(t)$ — убывающая от значения $\dot{x} = V$ при $t = 0$ до значения $\dot{x} = -\left(\frac{R_0}{m} - g \right)$ при $t \rightarrow \infty$.

При этом существует время t при котором скорость \dot{x} обращается в ноль, тело останавливается. Это время определяется выражением

$$t = t_* = \frac{m}{R_1} \ln \left(1 + \frac{V}{\frac{R_0}{m} - g} \right). \quad (25)$$

Подставляя это значение t в выражение для x из (23), находим глубину проникания

$$H_* = \frac{mV}{R_1} - \left(\frac{R_0}{m} - g \right) t_*. \quad (26)$$

Отсюда находим $\frac{m}{R_1} = \frac{H_* + \left(\frac{R_0}{m} - g \right) t_*}{V}$, подставляя это выражение в (25). В результате

получаем уравнение для отыскания неизвестной величины R_0 :

$$Vt_* = \left[H_* + \left(\frac{R_0}{m} - g \right) t_* \right] \ln \left(1 + \frac{V}{\frac{R_0}{m} - g} \right).$$

В этом уравнении предполагаются известными (из эксперимента) величины V, t_*, H_*, m, g . Неизвестной величиной является R_0 . Отсюда находится R_0 и из (26) R_1 .

Случай 5. Пусть сопротивление среды определяется зависимостью

$$R = R_0 + R_1(\dot{x})^2. \quad (27)$$

Подставляя (27) в уравнение движения Ньютона, находим следующее дифференциальное уравнение

$$\ddot{x} + \frac{R_2}{m}(\dot{x})^2 + \frac{R_0}{m} - g = 0. \quad (28)$$

Чтобы найти решение (28), делается замена [10] $\dot{x} = p(x)$, тогда $\ddot{x} = p'(x)px$ уравнение (28) переписывается в терминах функции p : $pdp/\partial x = -(R_2p^2 + R_0 - mg)/m$.

Интегрируя это уравнение, получаем

$$R_2p^2 + R_0 - mg = Ce^{-2R_2\frac{x}{m}}, \quad (29)$$

где C — произвольная постоянная. Удовлетворяя начальному условию $\dot{x} = p = V$ при $t = 0$, устанавливаем что

$$C = R_2 V^2 + R_0 - mg. \quad (30)$$

Разрешая (29) относительно $p = dx / \partial t$, находим, что

$$p = \frac{dx}{\partial t} = + \sqrt{\frac{C}{R_2} e^{-2R_2 \frac{x}{m}} - \frac{R_0}{R_2} + \frac{mg}{R_2}}. \quad (31)$$

Интегрируя (31), замечаем что

$$\sqrt{\frac{R_2}{R_0 - mg}} \arcsin \sqrt{\frac{R_0 - mg}{C}} e^{R_2 \frac{x}{m}} = t + C_1. \quad (32)$$

Из начального условия $x|_{t=0} = 0$, находим C_1 в (32):

$$C_1 = \sqrt{\frac{R_2}{R_0 - mg}} \arcsin \sqrt{\frac{R_0 - mg}{C}}. \quad (33)$$

Из (32) следует, что

$$e^{R_2 \frac{x}{m}} = \sqrt{\frac{C}{R_0 - mg}} \sin \left[\sqrt{\frac{R_0 - mg}{R_2}} (t + C_1) \right]. \quad (34)$$

Из (34) находим, что

$$\frac{R_2 x_{\max}}{m} = \ln \sqrt{\frac{C}{R_0 - mg}}, \quad (35)$$

где x_{\max} — наибольшее значение x , которое достигается, когда аргумент синуса в (34) будет равен $\pi/2$. С учетом (33) получаем время, при котором x достигнет максимального значения:

$$x_{\max} = \frac{m}{2R_2} \ln \left(1 + \frac{R_2 V^2}{R_0 - mg} \right) \quad (36)$$

при соответствующем значении времени

$$t = t_{\max} = \sqrt{\frac{R_2}{R_0 - mg}} \left[\frac{\pi}{2} - \arcsin \sqrt{\frac{1}{1 + \frac{R_2 V^2}{R_0 - mg}}} \right] \quad (37)$$

Зная из опыта значения x_{\max} , t_{\max} , видим что (36), (37) образуют систему двух уравнений для определения параметров R_0 , R_2 сопротивления материалов R .

Отметим, что формула (36) с точностью до ускорения свободного падения g совпадает с приведенной в [11, 12]. В [12] нет формулы (37), образующей с (36) систему уравнений для нахождения R_0 , R_2 .

ВЫВОДЫ

Показано, что наиболее ответственным за проникание твердых тел в преграду является вязко-пластическое сопротивление. Функция вязко-пластического сопротивления восстанавливается опытным путем при измерениях глубины и времени проникания. Для отыскания оптимальной геометрии инструмента необходимо провести серию экспериментов для разных геометрий инструмента: оптимальной считается та, при которой сопротивление среды для заданной глубины проникания минимально.

СПИСОК ЛИТЕРАТУРЫ / REFERENCES

1. **Hertz H.** Uber die Berührung iester elastischer Korper, *J. reine angeu. math. (Crelle)*, 92, 1881, 155 pp.
2. **Lyav A.** *Mathematical Theory of Elasticity*. ONTI, 1935. [Ляв А. Математическая теория упругости. — ОНТИ, 1935.]
3. **Daris R. M.** The determination os static and dynamic yield stresses using a steel fall. *Proc. Roy., Soc. London., A*, 197, 1949, 416 pp.
4. **White M. P. and Griffis L.** The propogation of plastieity in uniaxial compression. *J. Appl.mech*, 15, 1998, 256 pp.
5. **Taylor G. I.** The use flat-ended projectiles for determining Dynamic yield stress. I Theoretical considera-tions. *Proc. Roy. Soc. London., A*. 194, 1948, 289 pp.
6. **Thomson W. T.** An approximate theory of armor penetration, *Journal of Applied Physics*, 26, 1955, 80 pp.
7. **Danilov B. B., Smolyanitsky B. N., Chanyshev A. I., and Cheshchin D. O.** Finding forces required to change air hammer path in soil, *Journal of Mining Science*, 2018, vol. 53, no. 4, pp. 676–685. [Данилов Б. Б., Смоляницкий Б. Н., Чанышев А. И., Чещин Д. О. Определение усилий для изменения траектории движения пневмопробойника в грунте // ФТПРПИ. — 2017. — № 4. — С. 69–79.]
8. **Danilov B. B., Smolyanitsky B. N., Chanyshev A. I., and Cheshchin D. O.** Determination of pneumatic puncher turn radius during change of its motion path in soil, *Journal of Mining Science*, 2018, vol. 54, no. 3, pp. 397–403. [Данилов Б. Б., Смоляницкий Б. Н., Чанышев А. И., Чещин Д. О. Определение радиуса поворота пневмопробойника при изменении траектории его движения в грунте // ФТПРПИ. — 2018. — № 3. — С. 43–50.]
9. **Danilov B. B., Chanyshev A. I., and Cheshchin D. O.** Study of factors affecting adjustment of a pneumatic-punch penetration path in soil, *Interexpo Geo-Siberia*, 2017. vol. 2, no. 2, pp. 268–272.] [Данилов Б. Б., Чанышев А. И., Чещин Д. О. Определение усилий для изменения траектории движения пневмопробойника в грунте // Интерэкспо Гео-Сибирь. — 2017. — Т. 2. — № 2. — С. 268–272.]
10. **Vygodsky M. Ya.** *Handbook of Higher Mathematics*, Moscow, AST, Astrel, 2006, 991 pp. [Выгодский М. Я. Справочник по высшей математике. — М.: АСТ, Астрель, 2006. — 991 с.]
11. **Allen W. A., Mayfield E. B. and Morrison H. L.** Dynamics of a projectile penetrating sand, *Journal of Applied Physics*, 1957, vol. 28, pp. 370–376.
12. **Goldsmith W.** *Beat. Theory and physical properties of colliding bodies*, Moscow, Publishing House of Building Literature, 1965, 448 pp. [Гольдсмит В. Удар. Теория и физические свойства соударяемых тел. — М.: Изд-во лит-ры по строительству, 1965. — 448 с.]